

SPALOVACÍ ZAŘÍZENÍ NA TUHÁ PALIVA

- spalování tuhých paliv probíhá heterogenní reakcí na povrchu častic
- klíčovým problémem je transport kyslíku k tomuto povrchu => reakce vždy rychle přechází do difúzního režimu hoření
- spalovací systémy je možné klasifikovat
 - podle způsobu dopravy paliva do ohniště
 - podle vzduchových poměrů, přesněji podle vzájemného pohybu paliva a okysličovadla

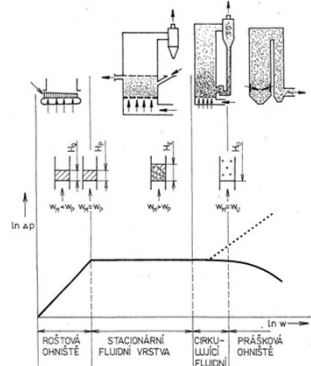
1

Druhy spalování podle vzájemného pohybu paliva a okysličovadla

- Podle vzájemného pohybu okysličovadla s palivem lze dělit spalování tuhých paliv na
- filtrační - spalování v nehybné vrstvě na roštu,
 - fluidní - ve vznosu - (mezní případ mezi spalováním filtračním a v letu)
 - v letu - v prostoru - práškové spalování uhlí, (jinak též spalování kapalných i plynných paliv),
 - vířivé (cyklonové).

2

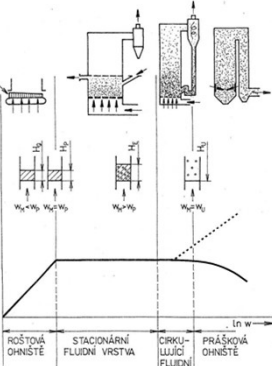
Klasifikace ohnišť na tuhá paliva



- Spalování filtrační (ve vrstvě)
- H_o je kladová výška vrstvy paliva
 - vrstvou protéká spalovací vzduch
 - rychlosť vzduchu je dána velikostí mezer mezi časticemi vrstvy
 - w_M je tzv. mimovrstvová rychlosť vzduchu
 - s rastoucí rychlosťí w_M roste rychlosť difuze kyslíku k povrchu častic a rychlosť hoření
 - současně roste odpor vrstvy a tedy tlaková ztráta ve vrstvě Δp

3

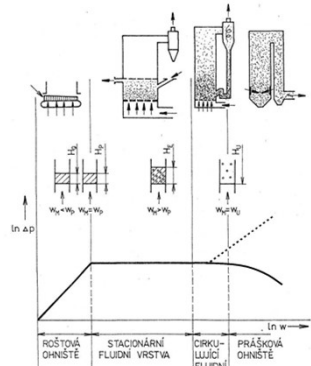
Klasifikace ohnišť na tuhá paliva



- Spalování ve vznosu (fluidní)
- při dosažení určité rychlosti proudícího vzduchu je dosaženo rovnováhy mezi dynamickým účinkem proudícího vzduchu na časticí a gravitační silou = časticí se ocítají ve vznosu
 - soustava časticí ve vznosu tvorí fluidní vrstvu
 - rychlosť, při níž je tohoto stavu dosaženo, je prahová rychlosť fluidizace w_p
 - vytvoří se fluidní vrstva o výšce $H_p \approx H_o$
 - časticí paliva jsou nadále nehybné
 - rychlosť přísnumu kyslíku k povrchu časticí je dána rychlosťí proudění vzduchu v mezích mezi časticemi

4

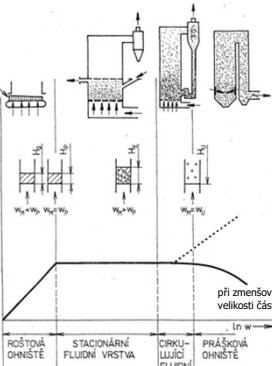
Klasifikace ohnišť na tuhá paliva



- Spalování ve vznosu (fluidní)
- při dalším zvyšování rychlosti vzduchu se vytvoří tzv. expandovaná fluidní vrstva o výšce H_E
 - časticí se ve vrstvě intenzivně premisťují, což podporuje rychlosť hoření
 - H_E s rastoucí rychlosťí vzduchu mírně narůstá, mezery mezi časticemi se zvětšují, tlaková ztráta příliš neroste
 - je nutné zajistit, že nebude dosaženo teploty měknutí popeloviny, aby nedocházelo k slépování (spékání) časticí
 - nutné řešit otázkou únosu jemnějších frakcí z vrstvy - riziko zvýšení nedopalu v úletu
 - osvědčeným řešením je zvýšení fluidizační rychlosti a přechod k cirkulující fluidní vrstvě

5

Klasifikace ohnišť na tuhá paliva



- Spalování v letu (práškové)
- další zvýšení rychlosti proudění v ohništi nad uletovou rychlosť časticí w_U vytváří situaci, kdy je časticí unášena vzduchospalinovou směsí ohništěm
 - během průletu vyhřívá na konečný nedopal
 - k dispozici pro vyhření časticí je omezený čas několika sekund => je nutné palivo dodávat ve formě prášku
 - u práškového ohniště je nutné dosáhnout výšší spalovací teploty, aby bylo zajištěno vyhření časticí při průletu ohništěm

6

SPALOVACÍ ZAŘÍZENÍ NA TUHÁ PALIVA

■ Spalovací zařízení se skládá

- z ohniště s hořáky nebo s roštem
- z pomocných zařízení
 - zařízení k přípravě paliva ke spalování,
 - zařízení k zachycování a odstraňování tuhých zbytků po spalování,
 - z ohříváků spalovacího vzduchu,
 - ze sacích a vzduchových ventilátorů,
 - odlučováků popílku,
 - komína,
 - ofukovače atd.

7

Ohniště

- je to prostor vymezený nechlazenými keramickými stěnami a/nebo výhrevními plochami, v němž se průběžně spaluje požadované množství paliva za účelem uvolnění potřebného toku tepla

Ohniště musí splňovat celou řadu požadavků, z nichž nejdůležitější jsou:

- zajistění dokonalého průběžného spalování přiváděného paliva s optimálním přebytkem spalovacího vzduchu a s nejvyšší možnou účinností při minimální tvorbě škodlivých emisí
- zajistit kontinuální odvod tuhých zbytků po spalování a plynných spalin do dalších částí kotle
- vhodnou konfiguraci výhrevních ploch zajistit vychlazení spalin pod teplotu měknutí popelovin a aby nebyla překročena určitá teplota stěny přehřívákových trubek, popř. nebyly v ohništi místně vysoké teploty

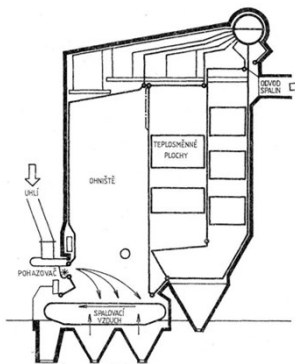
8

Ohniště

- ohniště musí být těsné, aby při případném přetlaku nevnikaly spaliny do prostoru kotelný a při podtlaku se zbytečně nepřisával falešný vzduch
- musí umožnit co nejširší palivový program, aniž by vznikly provozní potíže nebo příliš poklesla účinnost kotle
- nesmí docházet k nadměrné tvorbě nánosů a korozí, upcívání průtočných, výpustních a recirkulačních průřezů apod.
- ohniště má mít jednoduchou a účinnou regulaci výkonu v co nejširším rozmezí
- stabilita hoření musí být dobrá jak při stacionárních, tak i při přechodových stavech, jmenovitě v blízkosti minimálního výkonu
- obestavěný objem a půdorysná plocha mají být minimální
- opotřebení jednotlivých částí ohniště opalem, erosí a korozí musí být přiměřené
- ztráty tepla do okolí a cena izolace musí být minimální

9

Rošťové ohniště s pásovým roštem a pohazováním paliva

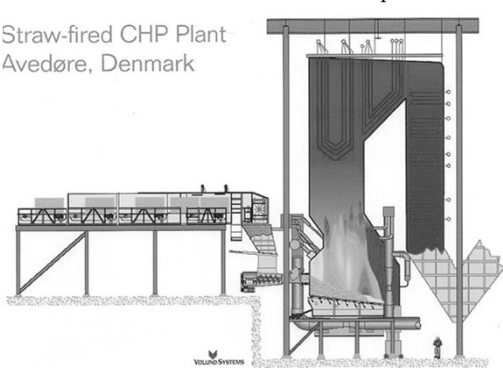


- převládající typ ohniště pro menší výkony
- pro ideální provoz vyžaduje tříděné uhlí
- mnohem častěji je spalován hruboprach a směsi obsahující zvýšený podíl jemných frakcí
- obvyklým řešením bývá v tomto případě rošťový kotel s pohazováním paliva
- spalování na roštu se uplatňuje při spalování odpadů a biomasy

10

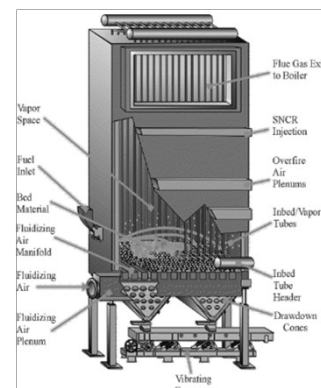
Rošťové ohniště s vibračním roštěm na spalování slámy

Straw-fired CHP Plant
Avedøre, Denmark



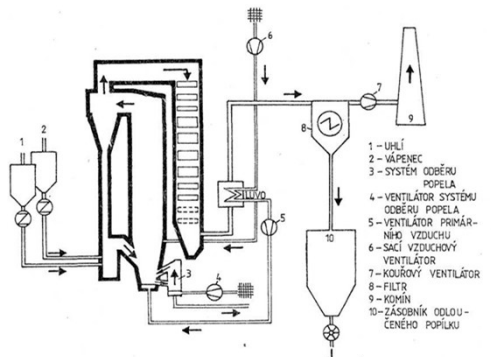
11

Ohniště se stacionární fluidní vrstvou



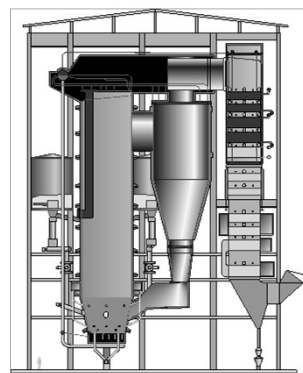
12

Ohniště s cirkulující fluidní vrstvou



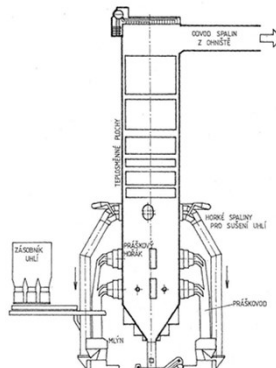
13

Kotel s ohništěm s cirkulující fluidní vrstvou



14

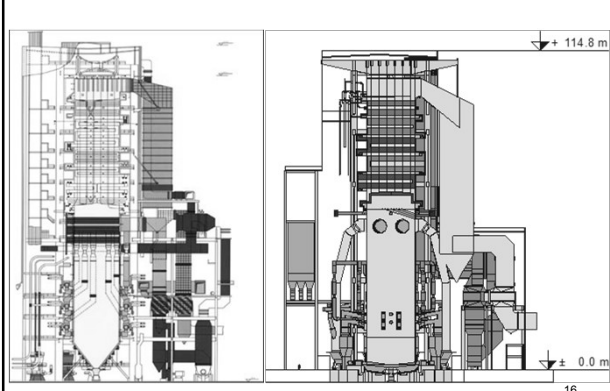
Práškové ohniště



- uhlí je z kotelového zásobníku doprováděno do sušky, kterou směrem ke mlýnu proudí horké spaliny, odebírané z ohniště
- uhlí se vysuší, mele a vytříděný uhlíkový prášek je doprováděn do práškových hořáků, do kterých je současně přiváděn ohřátý spalovací vzduch
- prášek se zapaluje a vyhořívá a vzniklé spaliny předávají teplo v teploměnných plochách na stěnách ohniště a v horní části v prostoru ohniště
- ochlazené spaliny jsou vedeny k čištění a poté do komína

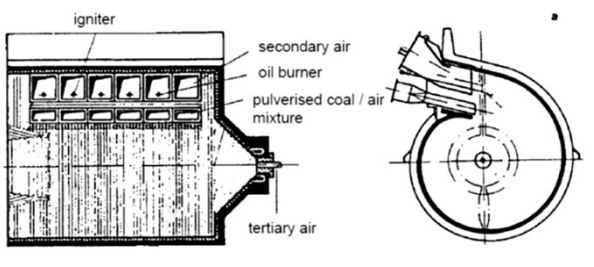
15

Práškový kotel



16

Cyklonové ohniště



17

Tepelná bilance ohniště

■ teplo přivedené

$$Q_u = Q_{pv} + Q_r \quad [kW]$$

■ teplo přivedené v palivu

$$Q_{pv} = M_{pv} \cdot [(1 - Z_N) \cdot Q_i + c_{pv} \cdot t_{pv}] \quad [kW] \quad Z_n - ztráty nedopalem$$

■ teplo v ohřátém vzduchu

$$\begin{aligned} Q_r &= M_{pv} \cdot (1 - Z_N) \cdot O_V \cdot c_V \cdot t_V = M_{pv} \cdot (1 - Z_N) \cdot \alpha_o \cdot O_{V,V\min} \cdot c_V \cdot t_V = \\ &= M_{pv} \cdot (1 - Z_N) \cdot \alpha_o \cdot I_V \quad [kW] \end{aligned}$$

■ teplo v recirkulovaných spalinách

$$\begin{aligned} Q_r &= r \cdot M_{pv} \cdot (1 - Z_C) \cdot O_{Sr} \cdot c_{Sr} \cdot t_{Sr} = \\ &= r \cdot M_{pv} \cdot (1 - Z_C) \cdot [O_{Sr,V\min} + (\alpha_r - 1) \cdot O_{V,V\min}] \cdot c_{Sr} \cdot t_{Sr} = \\ &= r \cdot M_{pv} \cdot (1 - Z_C) \cdot I_S^{t_{Sr}, \alpha_r} \quad [kW] \end{aligned}$$

18

Tepelná bilance ohniště

■ teplo odvedené

- teplo odcházející v plynných spalinách z ohniště

$$\begin{aligned} Q_{ok} &= M_{pv} \cdot (1 - Z_C) \cdot O_{SoK} \cdot c_{SoK} \cdot t_{SoK} = \\ &= M_{pv} \cdot (1 - Z_C) \cdot (1+r) \cdot [O_{SV\min} + (\alpha_{ok}-1) \cdot O_{VV\min}] \cdot c_{SoK} \cdot t_{SoK} = \\ &= M_{pv} \cdot (1 - Z_C) \cdot (1+r) \cdot I_S^{t_{SoK}, \alpha_{ok}} \quad [kW] \end{aligned}$$

- teplo odváděné v tuhých spalinách

$$Q_f = \sum M_{pv} \cdot \frac{A}{1-C_i} \cdot X_i \cdot c_i \cdot t_i \quad [kW]$$

- $i = sk, str, pop$
- $A [kg/kg]$ obsah popela v palivu
- $C_i [kg/kg]$ nespálený uhlík
- $X_i [kg/kg]$ podíl, který přechází ve škváru, strusku a popílek

19

Tepelná bilance ohniště

■ teplo odvedené

- teplo předané do stěn ohniště sáláním (konvekce se neuvažuje)

$$Q_{st} = \varepsilon_o \cdot C_o \cdot S_u \cdot (\bar{T}_o^4 - \bar{T}_{st}^4) = \bar{q}_{st} \cdot S_u \quad [kW]$$

kde je

ε_o – stupeň černosti ohniště

C_o – Stefan-Boltzmannova konstanta

S_u – účinná plocha stěn ohniště

\bar{T}_o – střední teplota spalin v ohništi

\bar{T}_{st} – střední teplota povrchu stěn v ohništi

Z tepelné bilance ohniště lze teplo předané v ohništi do stěn a teplotu odcházejících spalin spočítat

20

19

20

Teplo předané v ohništi

Tepelná bilance ohniště má tvar (Q_f zanedbáno)

$$\begin{aligned} M_{pv} \cdot (\eta_o \cdot Q_i + c_{pv} \cdot t_{pv}) + M_{pv} \cdot (1 - Z_N) \cdot O_V \cdot c_V \cdot t_V + \\ + M_{pv} \cdot (1 - Z_C) \cdot O_{Sr} \cdot c_{Sr} \cdot t_{Sr} - M_{pv} \cdot (1 - Z_C) \cdot O_{SoK} \cdot c_{SoK} \cdot t_{SoK} = \\ = \varepsilon_o \cdot C_o \cdot S_u \cdot (\bar{T}_o^4 - \bar{T}_{st}^4) = \bar{q}_{st} \cdot S_u \quad [kW] \end{aligned}$$

při poměrné recirkulaci $r = O_{Sr} / O_S$ a součiniteli přebytku vzdachu v ohništi $\alpha_o = \text{konst}$. lze vztah upravit na tvar

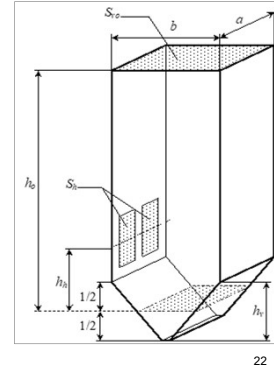
$$\begin{aligned} M_{pv} \cdot [\eta_o \cdot Q_i + c_{pv} \cdot t_{pv} + (1 - Z_N) \cdot O_V \cdot c_V \cdot t_V + \\ + (1 - Z_C) \cdot O_S \cdot \bar{c}_S \cdot [r \cdot t_{Sr} - (1+r) \cdot t_{SoK}]] = \bar{q}_{st} \cdot S_u \quad [kW] \end{aligned}$$

toto je výsledek teoretického řešení úlohy

21

Návrh velikosti a tvaru ohniště

- návrh velikosti a tvaru ohniště je více méně empirickou záležitostí
- vychází se zkušeností zohledňujících
 - výkon kotle
 - druh paliva
 - použitou spalovací technologii
- pro usnadnění návrhu ohniště byla zavedena porovnávací kritéria



22

21

22

Porovnávací kritéria ohniště

Střední objemové zatížení ohniště

- charakterizuje intenzitu uvolňování tepla v ohništi
- počítá se podle vztahu

$$q_v = \frac{M_{pv} \cdot Q_i^r}{V_o} \quad [kW \cdot m^{-3}]$$

- M_{pv} [kg/s] je množství přivedeného paliva při jmenovitém výkonu kotle,
- Q_i^r [kJ/kg] je výhřevnost paliva
- V_o [m^3] je objem spalovací komory.

23

Střední objemové zatížení ohniště

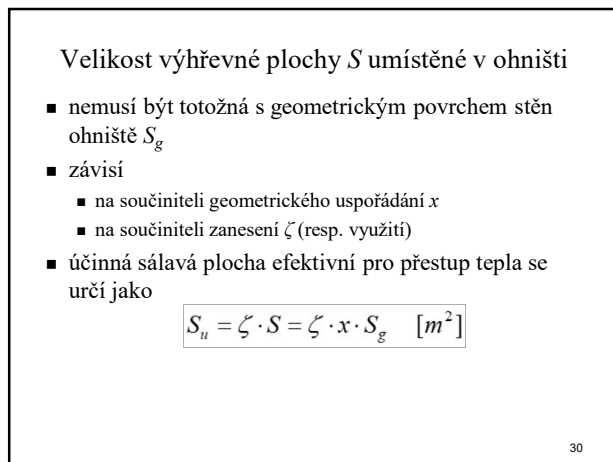
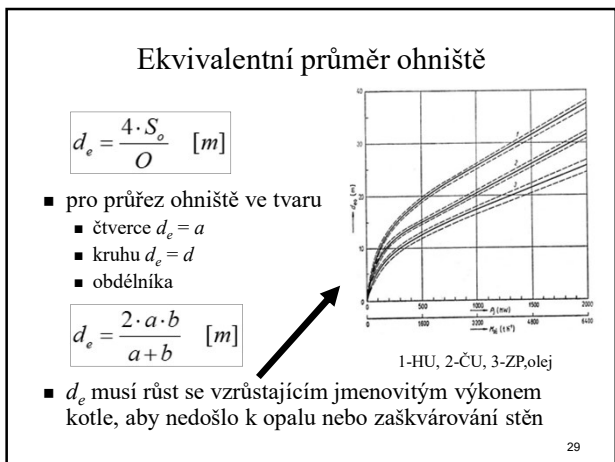
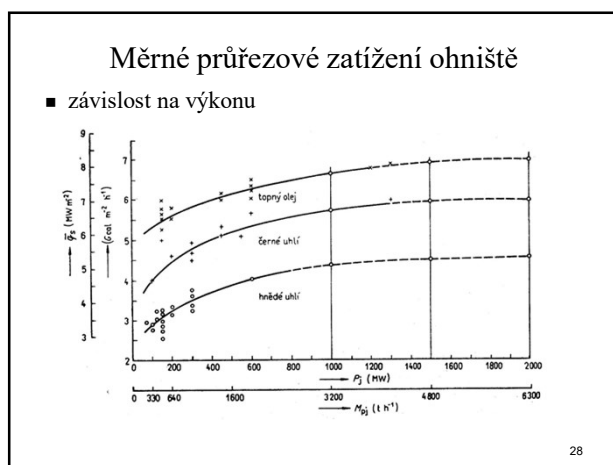
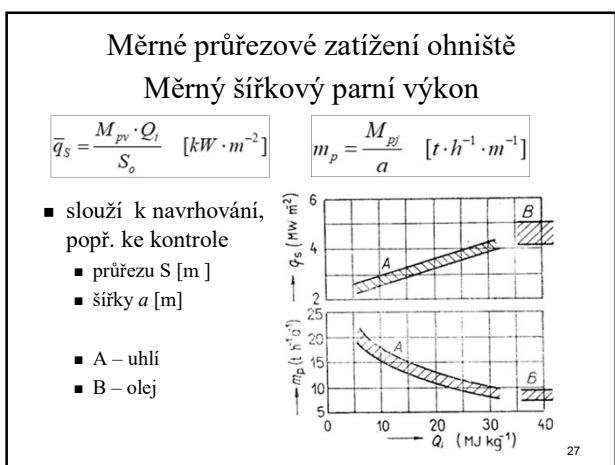
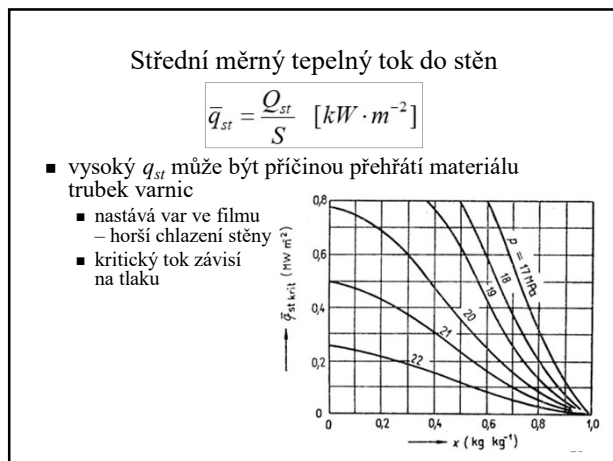
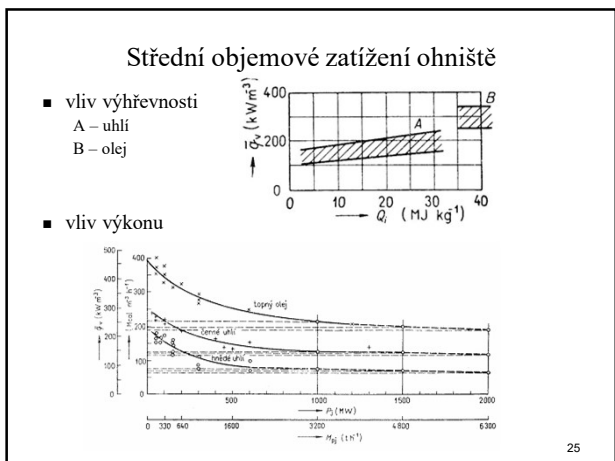
- klesá
 - s klesajícím výkonem
 - s klesající výhřevností
 - s rostoucím jmenovitým výkonem kotle
- závisí na typu ohniště

Ohniště	q_v [kW/m ³]
Rošťová	100 ÷ 200
Granulační	120 ÷ 250
Výtavná	150 ÷ 300
Svislá cyklónová	800 ÷ 1200
Vodorovná cyklónová	3000 ÷ 6000
Olejová	200 ÷ 1000
Plynová	200 ÷ 1000

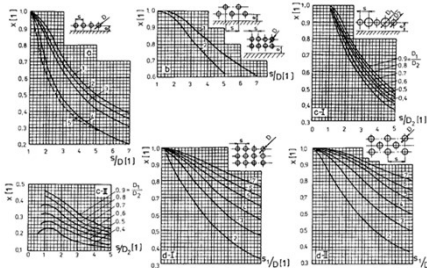
24

23

24



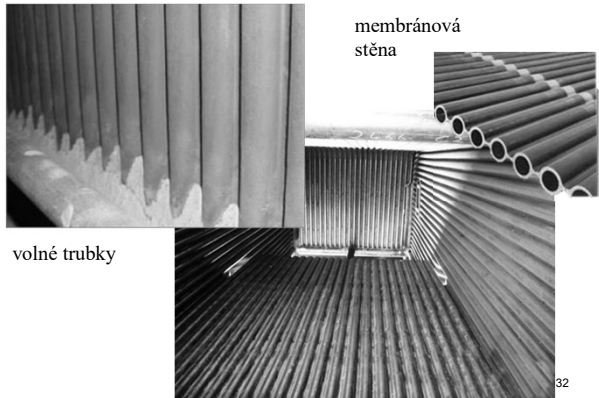
**Velikost výhrevné plochy S umístěné v ohništi
součinitel geometrického uspořádání x**



- a – jednoradá stěna z hladkých trubek : 1 – s vlivem sálání obezdyky pro $e \geq 1.4D$, 2 – díto pro $e = 0.8D$, 3 – díto pro $e = 0.5D$, 4 – díto pro $e = 0.5$ – bez vlivu sálání obezdyky pro $e \geq 0.5D$
- b – dvouradá stěna z hladkých trubek : 1 – s vlivem sálání obezdyky pro $e \geq 1.4D$, 2 – díto pro $e = 0$
- c – jednoradá stěna z hladkých trubek různého průměru : 1 – pro celou stěnu, II – pro trubky malého průměru
- d – víceradý svazek ($\varepsilon = 2$ až 7 řad) : I – uspořádání trubek za sebou, II – uspořádání trubek vystřídané

31

Provedení chlazených stěn kotle

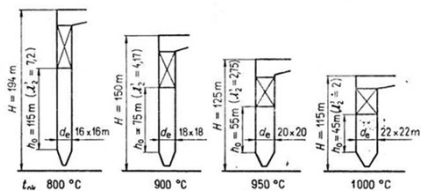


32

Výška ohniště

$$h_o = \frac{V_o}{S_o} = \frac{\bar{q}_z}{\bar{q}_v} [m]$$

- závisí na
 - jmenovité výkonnosti M_{pj} (tj. vlastně na d_e)
 - na vychlazení ohniště – tedy na předaném teple do stěn
 - teplotě spalovacího vzduchu a recirkulaci spalin \Rightarrow určují t_{np} a t_{ok}
- Závislost h_o a d_e granulačního ohniště na teplotě spalin v místě odchodu z ohniště (blok 600 MW na hnědě uhlí)



33

Účinnost ohniště

$$\eta_o = 1 - Z_N - Z_f - Z_{svo} = \frac{[M_{pv} \cdot (1 - Z_C) \cdot O_S \cdot c_S \cdot t_{np}] \cdot (1 - Z_{svo})}{M_{pv} \cdot Q_i}$$

- vyjadřuje podíl tepla přivedeného v palivu do ohniště, který je obsažen ve spalinách před odevzdáním tepla do výhrevních ploch
- závisí na ztrátech
 - nedokonalostí spalování $Z_N = Z_C + Z_{CO}$
 - nedokonalostí izolace ohniště Z_{svo}
 - fyzickým teplom tuhých spalin Z_f odváděných z ohniště ve formě strusky a škváry

34

Teplota nechlazeného plamene

vyjde z tepelné bilance ohniště v případě, kdy odvedené teplo do stěn a ve spalinách = 0

$$t_{np} = \frac{\eta_o \cdot Q_i + c_{pv} \cdot t_{pv} + (1 - Z_N) \cdot O_V \cdot c_V \cdot t_V + (1 - Z_C) \cdot r \cdot O_S \cdot c_{S0} \cdot t_{S0}}{(1 - Z_C) \cdot (1 + r) \cdot O_S \cdot c_{S0}} [^{\circ}C]$$

při zanedbání citelného tepla paliva, rozdílu mezi $(1 - Z_N)$, $(1 - Z_C)$ a η_o a bez recirkulace spalin platí

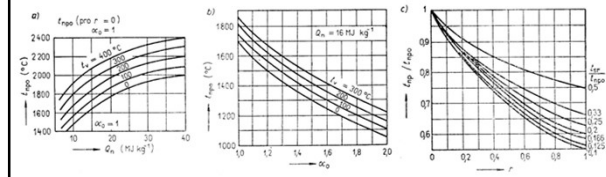
$$t_{np} = \frac{Q_i + O_V \cdot c_V \cdot t_V}{O_S \cdot c_{S0}} [^{\circ}C]$$

35

Teplota nechlazeného plamene

závisí

- na výhrevnosti,
- na teplotě vzduchu, součiniteli přebytku vzduchu v ohniště
- na poměrné recirkulaci a teplotě recirkulovaných spalin



36

Boltzmannovo číslo

$$Bo = \frac{(1 - Z_C) \cdot M_{pv} \cdot O_S \cdot \bar{c}_S \cdot (1 + r)}{\sigma \cdot S_u \cdot T_{np}^3}$$

- je podobnostní kritérium přenosu tepla v ohniště vytvořené pro jeho návrh
- závisí
 - na průtoku spalin
 - na jejich střední měrné tepelné kapacitě c_s (J/m^3K) v rozsahu teplot t_{np} až t_{ok}
 - na poměrné recirkulaci spalin do ohniště
 - na účinné sálavé ploše S_u (m^2)
 - na univerzální Stefanově - Boltzmannově konstantě $\sigma = 5,67 \cdot 10^{-8} W/m^2 K^4$
 - na teplotě nechlazeného plamene T_{np} (K)

37

Teplota spalin na konci ohniště

dosazením Boltzmannova kritéria a bezrozměrných teplot $\Theta_i = T_i / T_{np}$ ($i = ok, st, o$) do tepelné bilance ohniště získáme vztah

$$\frac{Bo}{\bar{\varepsilon}_o} \cdot (\Theta_o - 1) - \Theta_{ok}^2 - \Theta_{st}^4 = 0$$

řešením vychází teoretická bezrozměrná teplota spalin na konci ohniště

$$\Theta_{ok1,2} = \left(\frac{T_{ok}}{T_{np}} \right)_{1,2} = \frac{Bo}{2 \cdot \bar{\varepsilon}_o} \pm \sqrt{\left(\frac{Bo}{2 \cdot \bar{\varepsilon}_o} \right)^2 + \Theta_{st}^4 + \frac{Bo}{\bar{\varepsilon}_o}}$$

38

Teplota spalin na konci ohniště

- na základě měření velkého počtu ohnišť zjistil Gurvič experimentální závislost

$$\Theta_{ok} = \frac{Bo^{0,6}}{M \cdot \bar{\varepsilon}_o^{0,6} + Bo^{0,6}}$$

- M je součinitel respektující výškovou polohu hořáků resp. polohu maximálního tepelného toku

teplota spalin na konci ohniště se pak vypočte jako

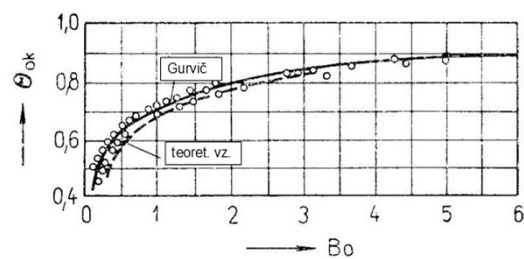
$$t_{ok} = \frac{t_{np} + 273,15}{1 + M \cdot \left(\frac{\bar{\varepsilon}_o}{Bo} \right)^{0,6}} - 273,15 \quad [^{\circ}C]$$

vztah lze použít při spalování všech druhů paliv ve všech typech ohnišť s výjimkou fluidních

39

Teplota spalin na konci ohniště

porovnání výsledků podle teoretického a Gurvičova vztahu



40